

01;04

**ИССЛЕДОВАНИЕ РАДИАЛЬНОЙ  
ОДНОРОДНОСТИ ЖИДКОГО  
РАСШИРЯЮЩЕГОСЯ ПРОВОДНИКА,  
НАГРЕВАЕМОГО ИМПУЛЬСОМ ТОКА**

© Н.И.Кускова, С.И.Ткаченко

В работе исследуется радиальная однородность конденсированного цилиндрического проводника, нагреваемого импульсными токами плотностью  $j \sim (10^{11}-10^{12}) \text{ А}/\text{м}^2$ , при которых время развития гидродинамических и перегревых неустойчивостей в вольфрамовом проводнике больше характерного времени задачи [1]. Так как характерное время процесса  $t > 10^{-8} \text{ с}$ , то может быть применено однотемпературное МГД-приближение [2], тогда нагрев проводника описывается следующей системой одномерных уравнений в цилиндрических лагранжевых координатах:

$$\frac{dm}{dt} = 0, \quad (1)$$

$$\rho \frac{dv}{dt} = -\frac{\partial P}{\partial r} - \frac{0.5}{\mu r^2} \frac{\partial(r^2 B_\varphi^2)}{\partial r}, \quad (2)$$

$$\rho \frac{d\varepsilon}{dt} = -P \frac{1}{r} \frac{\partial(rv)}{\partial r} + \frac{1}{r} \frac{\partial}{\partial r} \left( \kappa r \frac{\partial T}{\partial r} \right) + \frac{j^2}{\sigma}, \quad (3)$$

$$\frac{d(\mu B_\varphi)}{dt} = \frac{\partial}{\partial r} \left( \frac{1}{\sigma r} \frac{\partial(rB_\varphi)}{\partial r} \right), \quad (4)$$

где  $j = 1/(\mu r)[\partial(rB_\varphi)/\partial r]$  — плотность тока;  $P = P(\rho, T)$ ,  $\varepsilon = \varepsilon(\rho, T)$  — уравнение состояния с учетом фазовых переходов;  $\sigma = \sigma(\rho, T)$  — электропроводность.

Радиальная неоднородность в твердом (нерасширяющемся) проводнике, обусловленная эффектами скинирования тока, хорошо изучена [3]. Однако в процессе нагрева проводника, после его плавления, происходит интенсивное гидродинамическое расширение и перераспределение тока по глубине. Было показано [4], что точного аналитического решения МГД-системы (1)–(4), описывающего однородное по радиусу расширение цилиндрического проводника, не существует, поэтому будем искать слабонеоднородное

решение (без учета теплопроводности, а также энергии, выделяющейся при сжатии).

Для замыкания системы запишем уравнение цепи

$$L \frac{d^2 I}{dt^2} + \frac{d}{dt}(RI) + \frac{I}{C} = 0, \quad (5)$$

уравнение состояния в виде  $\rho = \rho_0 / [1 + \alpha(T - T_0)]$  и зависимость

$$\sigma = \frac{\sigma_0}{1 + \beta(T - T_0)} \left( \frac{\rho}{\rho_0} \right)^\gamma, \quad (6)$$

где  $\alpha, \beta$  — температурные коэффициенты плотности и электропроводности.

Временные составляющие приближенного решения, описывающего нагрев и расширение вольфрамового проводника, полученного в предположении однородности  $\rho, T, \sigma$ , имеют вид:

$$u \simeq 0.5\alpha(A_1 + 2A_2 \cdot \Delta t), \quad (7)$$

$$a \simeq a^0(1 + 0.5\alpha \cdot A_1 \cdot \Delta t + 0.5\alpha \cdot A_2 \cdot \Delta t^2), \quad (8)$$

$$T \simeq T^0 + A_1 \cdot \Delta t + A_2 \cdot \Delta t^2, \quad (9)$$

$$I \simeq I^0 \exp(\omega^0 \cdot \Delta t - k \cdot \Delta t^2), \quad (10)$$

$$\begin{aligned} \sigma \simeq \sigma^0 & \left\{ 1 - (\beta + \alpha \cdot \gamma)A_1 \cdot \Delta t - \right. \\ & \left. - [(\beta + \alpha \cdot \gamma)A_2 + \beta \cdot \alpha \cdot \gamma \cdot A_1^2] \cdot \Delta t^2 \right\}, \end{aligned} \quad (11)$$

где  $\Delta t = t - t^0$ ,  $A_1 = (I^0)^2 R^0 / (mc)$ ,  $A_2 = 0.5R^0 \times \times [\beta + \alpha(\gamma - 1)]A_1^2/L + \omega^0 A_1$ ,  $v = u \cdot r$ ,  $k = (\omega^0)^2 + \omega^0 \cdot R^0/L + + R^0 \cdot A_1 \cdot [\beta + \alpha \cdot (\gamma - 1)]/L + 1/CL$ ;  $\omega^0 = (dI/dt)^0/I^0$ ;  $c$  — удельная теплоемкость, параметры с верхним индексом  $^0$  относятся к моменту времени окончания плавления.

При этом искомое решение уравнения (4)

$$B_\varphi \simeq \frac{\mu I}{2\pi a^2} r \cdot \left( 1 + \frac{1}{8} \mu \sigma \omega r^2 + \frac{1}{96} (\mu \sigma)^2 \omega (\omega - u) r^4 \right) \quad (12)$$

имеет место при выполнении следующих условий:

$$a_{\max} \sqrt{\mu \sigma_{\max} \omega} \ll 1, \quad (13)$$

$$a_{\max} \sqrt{\mu \sigma_{\max} u_{\max}} \ll 1, \quad (14)$$

где  $\omega = (dI/dt)/I$ ;  $a_{\max}$ ,  $\sigma_{\max}$  и  $u_{\max}$  — максимальные значения функций (7), (8) и (11), достигаемые к моменту вскипания поверхности проводника. Критерий (13) аналогичен условию отсутствия скин-эффекта в предельном случае малых частот [3] для нерасширяющегося проводника (в данном критерии  $\omega$  играет роль частоты изменения тока).

При выполнении условий (13), (14) радиальное распределение плотности тока имеет вид

$$j \simeq \frac{I}{\pi a^2} \left( 1 + \frac{1}{4} \mu \sigma \omega r^2 + \frac{1}{32} (\mu \sigma)^2 \omega (\omega - u) r^4 \right). \quad (15)$$

Оценивая величину неоднородности распределения тока по сечению вольфрамового проводника при  $I^0 \simeq 10^5 \text{ A}$  ( $j \simeq \simeq 10^{12} \text{ A/m}^2$ ,  $\omega \simeq 8 \cdot 10^8 \text{ c}^{-1}$ ), получим  $j(a) \simeq 1.05 \cdot j(0)$ . При плотностях тока  $j \leq 10^{11} \text{ A/m}^2$  и  $(dI/dt) < 0$ ,  $\omega < 0$ , а плотность тока максимальна в центре  $j(0) > j(a)$ .

Неоднородность плотности жидкого проводника, связанная с влиянием магнитного давления (имеющего максимум на оси), согласно оценке, проведенной для вольфрама, возникает при  $j \sim 2 \cdot 10^8/a$ .

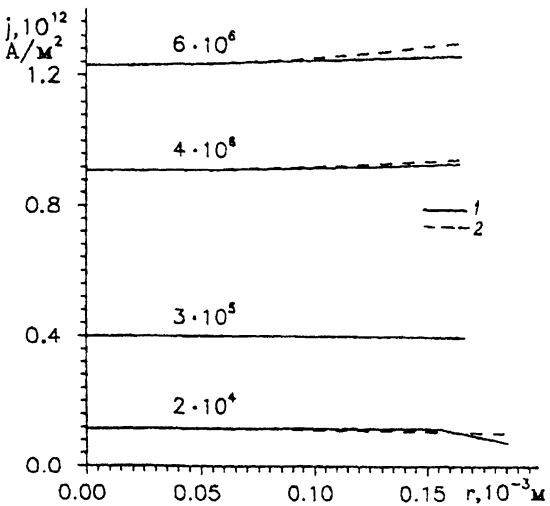
Критическая плотность тока  $j_{cr}$ , при которой еще сохраняется радиальная однородность всех характеристик жидкого металла, для вольфрама  $j_{cr} \sim 10^{12} \text{ A/m}^2$ . При выполнении этого условия решение системы МГД-уравнений будет слабонеоднородным:  $\delta w \ll w_0$ ;  $\delta w = w - w_0$ ,  $w$  — параметр течения.

Для исследования граничного режима перехода однородного по радиусу нагрева проводника в неоднородный был проведен численный эксперимент, при этом решалась система МГД-уравнений (1)–(5), для замыкания которой использовались соотношение (6) и уравнение состояния Вандер-Ваальса-Максвелла в виде

$$P = \frac{RT}{V - b} - \frac{a}{V^2}; \quad \varepsilon = \varepsilon_0 + c(T - T_0) + a(\rho_0 - \rho); \quad (16)$$

$$\mu_f - \mu_g = \int_f^g d\mu = \int_f^g V dP = \int_f^g V \left( \frac{\partial P}{\partial V} \right)_T dV = 0, \quad (17)$$

где  $V = 1/\rho$  — удельный объем, коэффициенты  $a$  и  $b$  определяются через параметры вещества в критической точке фазовой диаграммы [5]. Соотношение для удельной внутренней энергии получено из основных термодинамических со-



Радиальное распределение плотности тока в проводнике при различных начальных напряжениях: 1 — результаты численного моделирования, 2 — расчет по зависимости (15).

отношений в предположении постоянства удельной теплоемкости. Условие (17) описывает поведение вещества в области сосуществования жидкой (индекс  $f$ ) и газообразной (индекс  $g$ ) фаз: фазы, находящиеся в равновесии друг с другом, должны иметь равные химические потенциалы.

Начальные условия задавались в момент включения тока:

$$\rho(0, r) = \rho_0; T(0, r) = T_0; v(0, r) = 0; B_\varphi(0, r) = 0; j_z(0, r) = 0;$$

граничное условие на оси проводника — условие цилиндрической симметрии, а на внешней границе (в предположении погруженности проводника в безграничную водную среду) — невозмущенные параметры воды при комнатной температуре.

Вычислительный эксперимент проводился для различных плотностей тока, получаемых при варьировании параметров цепи и проводника. Наиболее наглядной (с точки зрения сравнения с теоретическими результатами) является серия расчетов, в которых энергетика взрыва изменялась посредством вариации начального напряжения.

Моделировался взрыв вольфрамовой проволочки при следующих параметрах: длина проводника —  $l = 0.087$  м, начальный радиус —  $a_0 = 1.75 \cdot 10^{-4}$  м, индуктивность —  $L = 4.5 \cdot 10^{-6}$  Гн, емкость —  $C = 6.0 \cdot 10^{-8}$  Ф. Для определения коэффициентов  $\beta$  и  $\gamma$  в выражении (6) для жидкой фазы использовались экспериментальные данные [6].

На рисунке приведено радиальное распределение плотности тока в проводнике для различных начальных напряжений  $U_0 = 3 \cdot 10^5$  В,  $2 \cdot 10^4$  В,  $4 \cdot 10^6$  В,  $6 \cdot 10^6$  В в моменты времени, близкие к началу кипения поверхности проводника. Относительная величина неоднородности радиального распределения температуры и плотности в эти же моменты времени для указанных режимов не превышает 10%. При  $j < 10^{11}$  А/м<sup>2</sup> и  $j > 10^{12}$  А/м<sup>2</sup> возникает перераспределение тока по радиусу, вызываемое расширением проводника и диффузией магнитного поля.

Анализируя результаты, можно сделать вывод, что режимы, в которых плотность тока  $10^{11}$  А/м<sup>2</sup>  $< j < 10^{12}$  А/м<sup>2</sup>, в достаточной степени однородны и могут использоваться для исследования термодинамических свойств жидкого вольфрама в диапазоне температур от плавления до кипения (при нормальных условиях).

### Список литературы

- [1] Абрамова К.Б., Златин Н.А., Перегуд Б.П. // ЖЭТФ. 1975. Т. 69. В. 6. С. 2007–2022.
- [2] Бурцев В.А., Калинин Н.В., Лучинский А.В. Электрический взрыв проводников и его применение в электрофизических установках. М.: Энергоатомиздат, 1990. 289 с.
- [3] Ландау Л.Д., Лишниц Е.М. Электродинамика сплошных сред. М.: Наука, 1982. 623 с.
- [4] Ткаченко С. И. Математическое моделирование. 1995. Т. 7. № 1. С. 3–10.
- [5] Фортов В.Е., Дремин А.Н., Леонтьев А.А. // ТВТ. 1975. Т. 13. № 5. С. 1072–1080.
- [6] Коваль С.В., Кускова Н.И. // Письма в ЖТФ. 1995. Т. 21. В. 6. С. 36–40.

Институт импульсных процессов  
и технологий НАН Украины

Поступило в Редакцию  
15 мая 1995 г.  
В окончательной редакции  
26 марта 1996 г.